

บทที่ 3

การออกแบบกลไกเครื่องดึงกระดูกสันหลัง

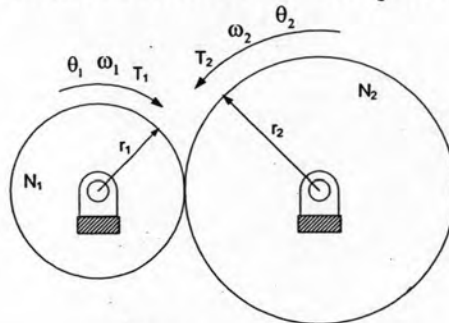
ในการออกแบบเครื่องดึงกระดูกสันหลังนั้นได้ทำการออกแบบส่วนต่างๆ โดยในการออกแบบได้แยกพิจารณาออกเป็นส่วนๆ ดังนี้

1. กลไกระบบส่งกำลัง
2. กลไกม้วนเชือกคั้น
3. อุปกรณ์วัดแรงดึงเชือก
4. กลไกส่งผ่านเชือก

3.1 กลไกระบบส่งกำลัง

กลไกระบบส่งกำลังของเครื่องดึงกระดูกสันหลังได้ออกแบบโดยใช้ระบบเฟือง (Gear Trains) ส่งกำลังเป็นหลัก เหตุผลก็เพราะ มีความแข็งแรงสูง การดูแลรักษาง่าย ราคาไม่สูงมาก ประหยัดเนื้อที่ในการติดตั้ง

โดยหลักการพื้นฐานของระบบส่งกำลังด้วยเฟืองได้แสดงไว้ดังรูปที่ 3.1



รูปที่ 3.1 ระบบเฟืองทด

เนื่องจากระยะการขจัดเชิงเส้น (Displacement) และ แรงคู่ปฏิกิริยา ของคู่เฟืองที่ขบกัน นั้นเท่ากันดังนั้นเราสามารถหาความสัมพันธ์ของการขจัดเชิงมุม (Angular Displacement) ความเร็วเชิงมุม (Angular Velocity) และ แรงบิด(Torque)

$$r_1\theta_1 = r_2\theta_2$$

$$r_1\omega_1 = r_2\omega_2$$

$$\frac{T_1}{r_1} = \frac{T_2}{r_2}$$

โดยที่ r_1 คือ รัศมีของวงกลมพิตซ์ของเฟืองขับ (Pinion) (mm)

r_2 คือ รัศมีของวงกลมพิตซ์ของเฟืองตาม (Rack) (mm)

θ_1 คือ การขจัดเชิงมุมของเฟืองขับ (rad)

θ_2 คือ การขจัดเชิงมุมของเฟืองตาม (rad)

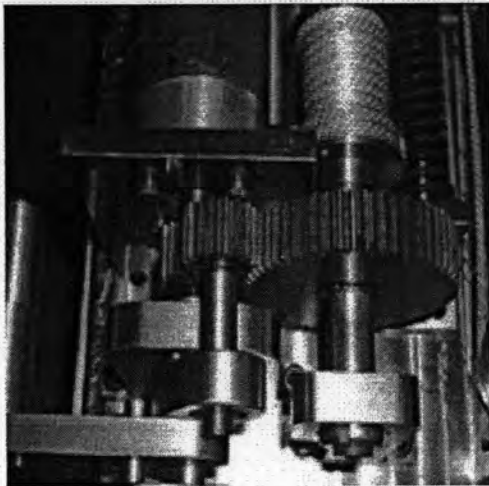
ω_1 คือ ความเร็วเชิงมุมของเฟืองขับ (rad/s)

ω_2 คือ ความเร็วเชิงมุมของเฟืองตาม (rad/s)

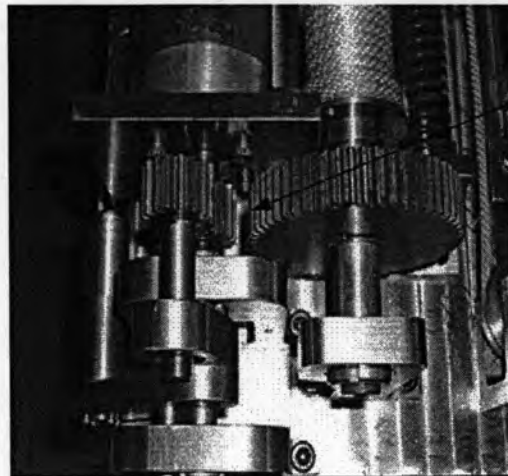
T_1 คือ แรงบิดที่เฟืองขับ ($N.m$)

T_2 คือ แรงบิดที่เฟืองตาม ($N.m$)

โดยกลไกของระบบส่งกำลังที่ทำการออกแบบได้แสดงดังรูปที่ 3.2 และ 3.3



รูปที่ 3.2 ระบบส่งกำลัง

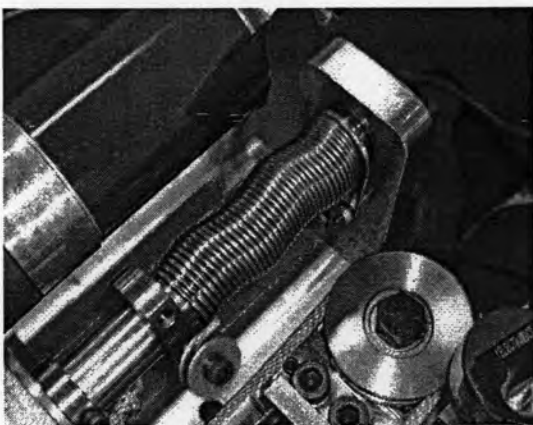


เมื่อปลดลิค

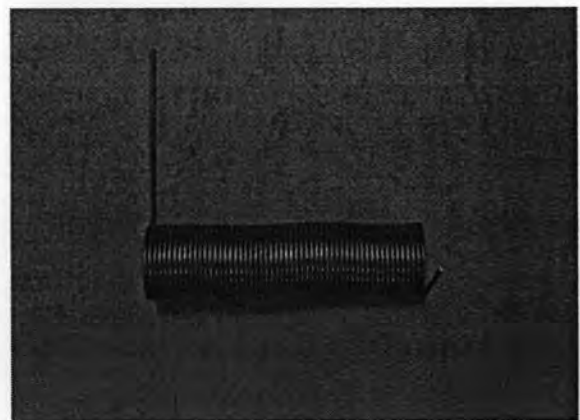
รูปที่ 3.3 ระบบส่งกำลังเมื่อปลดลิค

3.2 กลไกม้วนเชือกคิน

กลไกม้วนเชือกคินได้ทำการออกแบบเพื่อความสะดวกในการม้วนเชือกเก็บหลังจากทำการใช้เครื่องเสร็จแล้ว โดยกลไกที่ใช้ในการม้วนเชือกคินนั้น ได้ใช้สปริงบิด (Torsional spring) เกลียวขวา สอดไว้กับแกนเพลลาขวาม้วนเชือกและทำการยึดปลายทั้งสองด้านของสปริง โดยปลายด้านแรกยึดไว้ที่แกนเพลลา ส่วนปลายอีกด้านหนึ่งยึดไว้กับหน้าแปลนดังรูปที่ 3.4

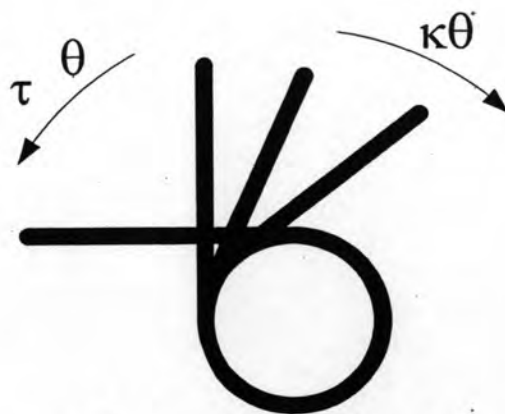


รูปที่ 3.4 กลไกม้วนเชือกคิน



รูปที่ 3.5 สปริงบิด

โดยหลักการพื้นฐานของสปริงบิดก็เหมือนกับสปริงดึงและสปริงกดทั่วไป นั่นคือ สปริงบิดจะสร้างแรงบิดในทิศทางที่สวนกับการขจัดดังรูปที่ 3.6 และสมการหน้าถัดไป



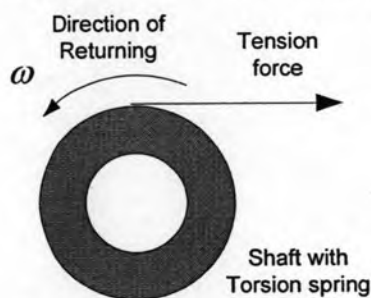
รูปที่ 3.6 แรงบิดที่เกิดขึ้นในสปริงบิด

$$\tau = \kappa\theta$$

โดยที่ τ คือ แรงบิดที่สปริงบิดสร้างขึ้น ($N.m$)

κ คือ ค่านิยของสปริง ($N.m/rad$)

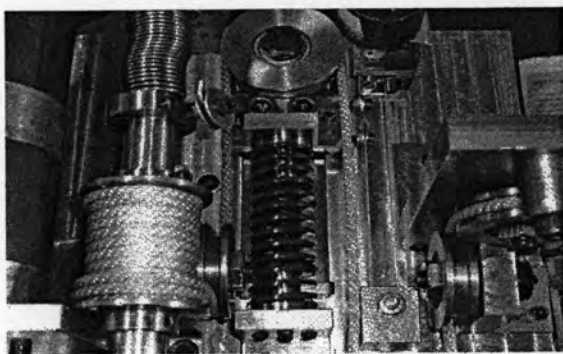
ขณะเชือกถูกดึงออกสปริงบิดที่ติดกับแกนเพลาก็จะบิดตามทำให้เกิดแรงบิดในทิศทางตรงกันข้ามและเมื่อทำการปล่อยเชือกสปริงบิดก็จะม้วนเชือกกลับมายังตำแหน่งก่อนดึงเชือกดังรูปที่ 3.7



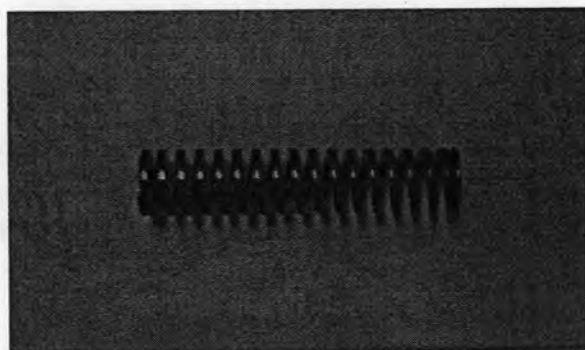
รูปที่ 3.7 ทิศทางการม้วนเชือกคืน

3.3 อุปกรณ์วัดแรงดึงเชือก

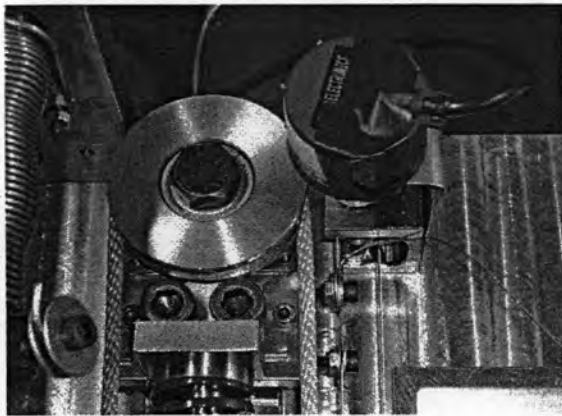
กลไกของอุปกรณ์วัดแรงดึงเชือกได้ทำการออกแบบโดยใช้ สปริงกด (Compressional Spring) เป็นตัววัดแรงดึงของเชือกดังรูปที่ 3.8 และ 3.9



รูปที่ 3.8 อุปกรณ์วัดแรง

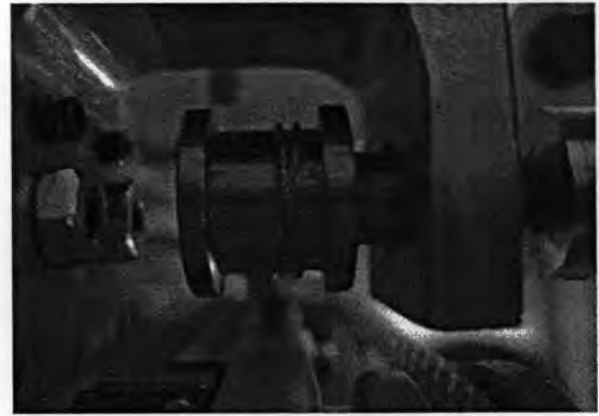


รูปที่ 3.9 สปริงกด

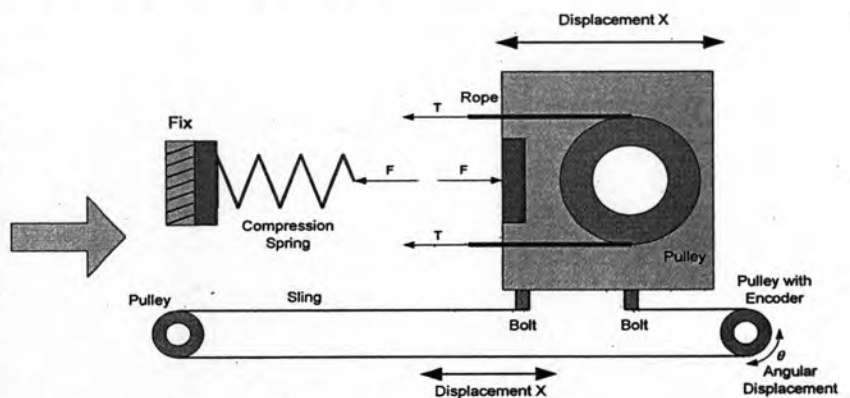
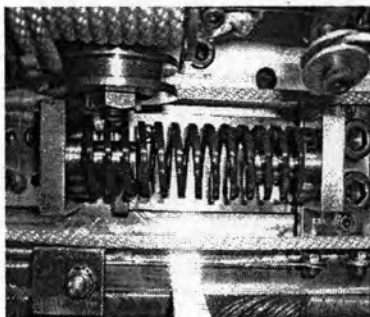


รูปที่ 3.10 เอนโคเดอร์กับสลิง

โดยหลักการทำงานพื้นฐานของอุปกรณ์วัดแรง คือ เมื่อเชือกเกิดแรงดึงจะทำให้เชือกที่โยงอยู่กับอุปกรณ์วัดแรงที่ตำแหน่งตัวรอกไปกดสปริงกด ทำให้สปริงกดเกิดการยุบตัวและเอนโคเดอร์(Encoder) ที่เชื่อมต่ออยู่กับรางเลื่อน (Linear Guide) ผ่านทางลวดสลิงก็จะหมุนทำให้เกิดการขจัดเชิงมุม ทำให้สามารถหาระยะยุบตัวของสปริงกดได้และนำไปคำนวณหาค่าแรงดึงของเชือกได้



รูปที่ 3.11 เฟลาสลึง



รูปที่ 3.12 ความสัมพันธ์ของแรงที่เกิดขึ้นในเชือกและสปริง

โดยที่ความสัมพันธ์ระหว่างแรงดึงเชือกกับแรงกดในสปริงและระยะยุบตัวของสปริงกดกับการขจัดเชิงมุมของเอนโคเดอร์หาได้ดังสมการ

$$F = 2T$$

$$F = KX$$

$$X = r\theta$$

ดังนั้นจะได้ว่าแรงดึงของเชือก

$$T = F/2$$

โดยที่ F คือ แรงกดในสปริง (kg_f)

T คือ แรงดึงในเส้นเชือก (kg_f)



K คือ ค่านิจของสปริงกด (kg_f/mm)

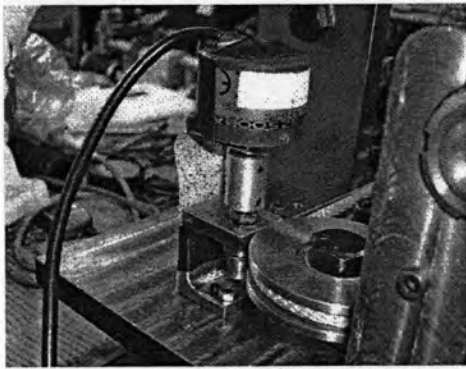
X คือ ระยะยุบตัวของสปริงกด (mm)

θ คือ การขจัดเชิงมุมของเอนโคดเดอร์ (rad)

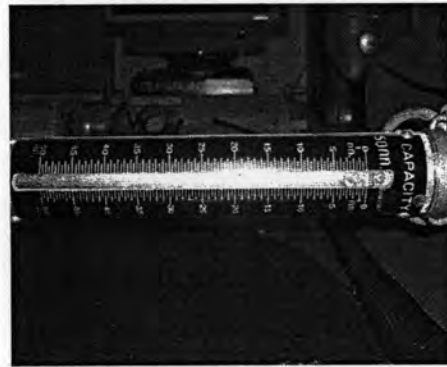
r คือ รัศมีของเพลาลวดสลึง (mm)

สำหรับการวัดแรงดึงของเชือกในทางปฏิบัติ ไม่ได้ทำเช่นนี้คือไม่ได้วัดค่าการขจัดเชิงมุมของเอนโคดเดอร์เพื่อนำมาหารระยะยุบตัวของสปริงกดแล้วนำค่าของระยะยุบตัวของสปริงกดที่ได้ไปคำนวณหาค่าของแรงกดในสปริงเพื่อนำไปหาค่าของแรงดึงของเชือก

แต่ได้ใช้วิธีการเข้าไปสอบเทียบหาความสัมพันธ์ระหว่างค่าแรงดึงของเชือกกับการขจัดเชิงมุมของเอนโคดเดอร์โดยตรง โดยอุปกรณ์ที่ใช้ในการสอบเทียบหา คือ สปริงวัดแรงดึงเชือกที่ใช้ดึงและเอนโคดเดอร์ดังรูปที่ 3.12 -3.15



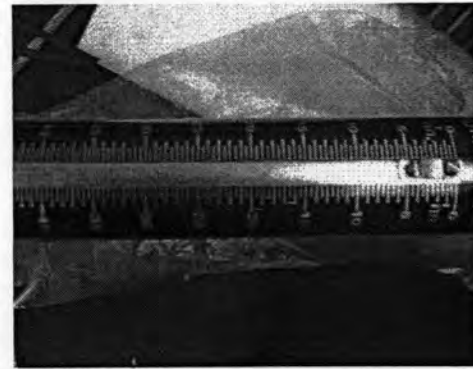
รูปที่ 3.13 เอนโคดเดอร์



รูปที่ 3.14 สปริงที่ผ่านการปรับแก้แล้ว



รูปที่ 3.15 การปรับแก้อุปกรณ์วัดแรง

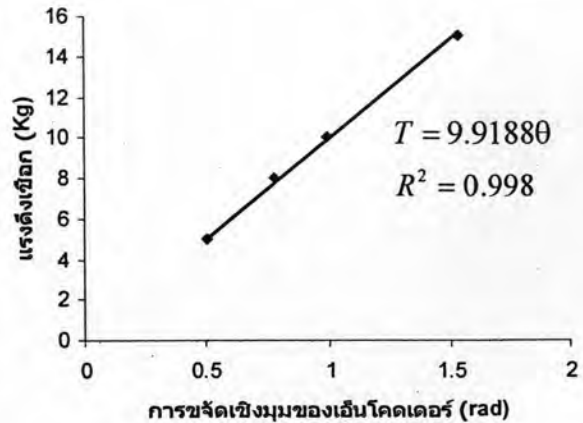


รูปที่ 3.16 อ่านค่าแรงดึง

โดยการสอบเทียบความสัมพันธ์ระหว่างแรงดึงเชือกกับการขจัดเชิงมุมของเอนโคดเดอร์ ได้ผลการทดสอบเป็นดังตารางในรูปที่ 3.16

แรงดึง เชือก (kg_f)	การขจัดเชิงมุมของเอนโคด เตอร์ (rad)		
	ครั้งที่1	ครั้งที่2	ค่าเฉลี่ย
5	0.4895	0.5184	0.5039
8	0.8080	0.7609	0.7844
10	0.9990	0.9896	0.9943
15	1.5800	1.4853	1.5326

รูปที่ 3.17 ตารางผลการทดสอบ



รูปที่ 3.18 การวิเคราะห์ด้วยความถดถอยเชิงเส้น

โดยที่ T คือ แรงดึงเชือก (kg_f)

θ คือ การขจัดเชิงมุมของเอนโคดเตอร์ (rad)

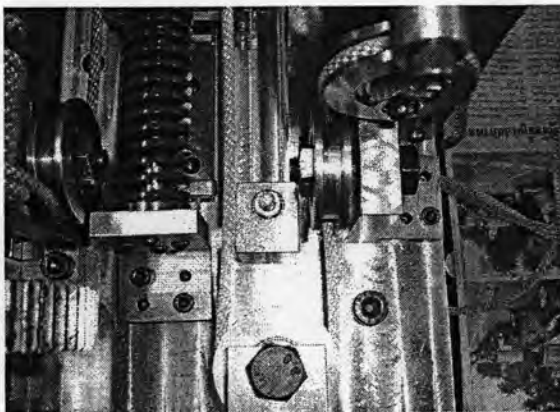
จากรูปที่ 3.17 จะได้ความสัมพันธ์ระหว่างความสัมพันธ์ระหว่างแรงดึงเชือกกับการขจัดเชิงมุมของเอนโคดเตอร์เป็น

$$T = 9.9188\theta$$

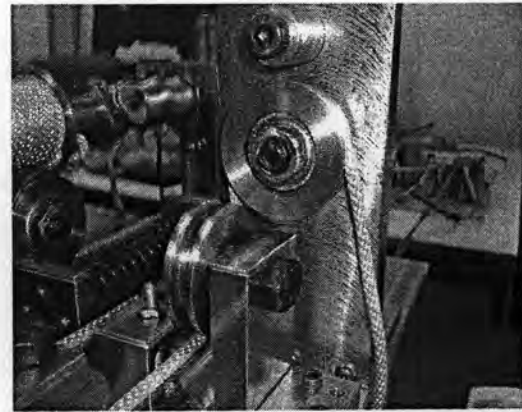
ซึ่งความสัมพันธ์ข้างต้นเป็นความสัมพันธ์ที่ใช้ในการคำนวณค่าของแรงดึงเชือกในทางปฏิบัติ

3.4 กลไกส่งผ่านเชือก

กลไกส่งผ่านเชือกเป็นกลไกที่ทำหน้าที่เป็นตัวเชื่อมระหว่างอุปกรณ์วัดแรงดึงเชือกกับหลังของคนที่อยู่ภายนอกที่จะไปทำการดึงโดยแบ่งออกเป็น 2 ส่วนหลักๆด้วยกัน คือ ส่วนที่รับเชือกจากอุปกรณ์วัดแรงดึงเชือกกับส่วนที่ส่งเชือกออกไปดึงหลังของคนที่อยู่ภายนอก ดังรูปที่ 3.18 และ 3.19

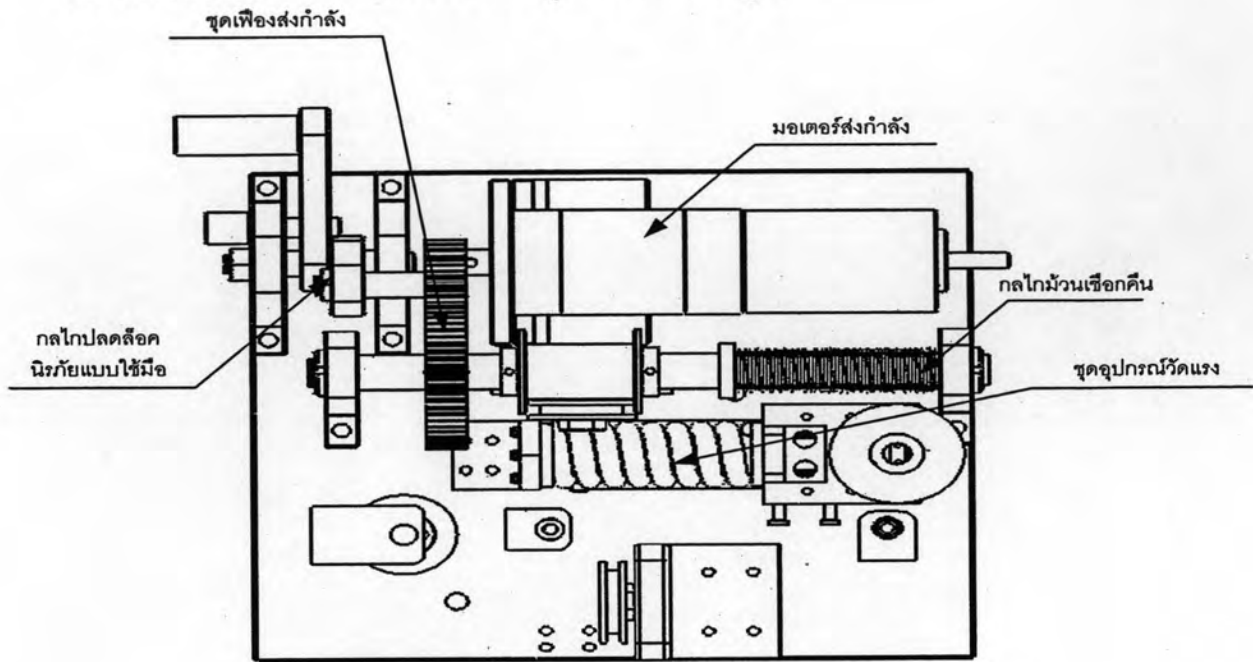


รูปที่ 3.19 กลไกส่งผ่านเชือกมุมมองด้านบน

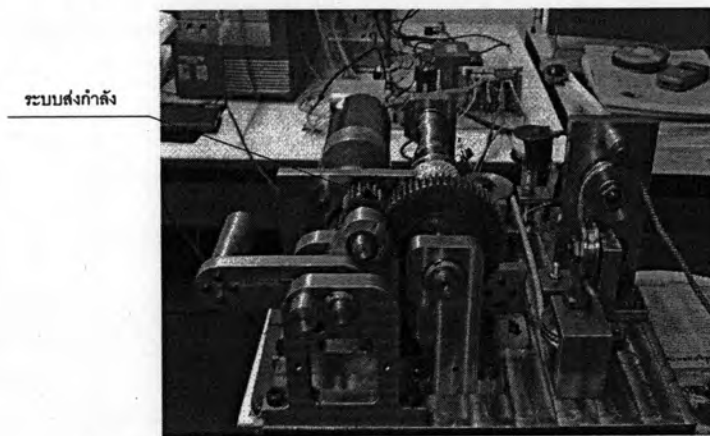


รูปที่ 3.20 กลไกส่งผ่านเชือกมุมมองด้านข้าง

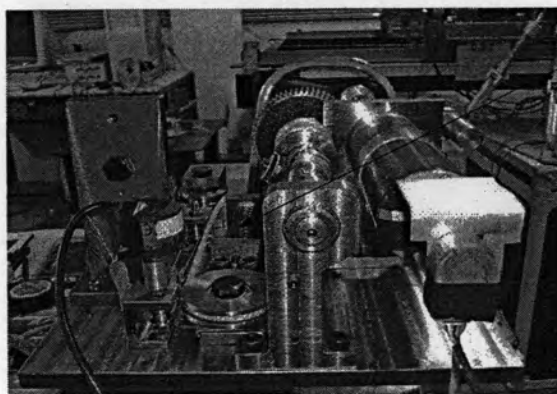
3.5 โครงสร้างของกลไกเครื่องดึงกระดูกสันหลังที่สมบูรณ์



รูปที่ 3.21 ภาพมุมมองด้านบนของเครื่องดึงกระดูกสันหลัง

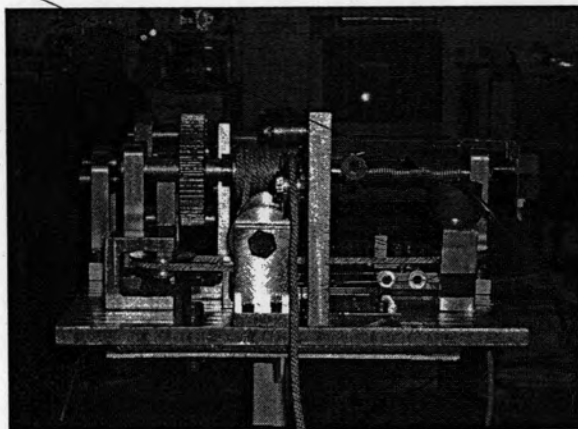


(ก) มุมมองที่ 1

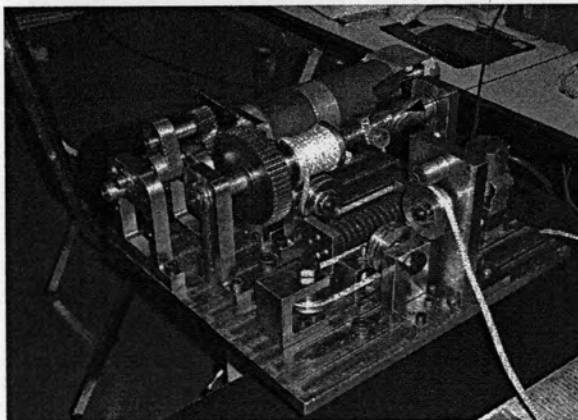


(ข) มุมมองที่ 2

กลไกม้วนเชือกคีน



(ค) มุมมองที่ 3



(ง) มุมมองที่ 4

รูปที่ 3.22 ภาพมุมมองต่างๆ ของเครื่องตีกระดูกสันหลัง

- (ก) แสดงถึงระบบส่งกำลัง
- (ข) อุปกรณ์วัดแรงและเอนโคดเดอร์
- (ค)-(ง) กลไกม้วนเชือกคีน